

рассеивается в элементах схемы инвертора, что должно учитываться при расчете и выборе этих элементов.

Задание снижения частоты при торможении осуществляется посредством интегратора, и при скачкообразном уменьшении управляющего сигнала частота снижается по экспоненциальному закону с постоянной времени, определяемой параметрами R и C .

Уравнения движения и их решение для мягкого режима торможения при экспоненциальном законе снижения частоты аналогичны уравнениям для режимов пуска, только с разницей в знаке E .

Установившийся режим работы системы электропривода является основным технологическим режимом, определяющим производительность и качество обработки изделий на станке. Поэтому все основные качественные показатели системы регулирования (диапазон, устойчивость, быстродействие, статизм и др.) обусловлены данным режимом.

Технико-экономические показатели рассматриваемой структуры частотнорегулируемого электропривода позволяют ей конкурировать с другими существующими схемами регулируемых приводов как постоянного, так и переменного тока.

Л и т е р а т у р а

1. Варакса А.П., Железняков В.В. Применение тиристорных преобразователей и полупроводниковых устройств управления в электроприводах металлорежущих станков. Минск, 1973.
2. Сандлер А.С., Сарбатов Р.С. Частотное управление асинхронными двигателями. М., 1966.

В.Л. Анхимюк, Л.Ф. Караульная, В.А. Новицкая

ПРИМЕНЕНИЕ МЕТОДА ОБОБЩЕННЫХ ФУНКЦИЙ К ИССЛЕДОВАНИЮ ПЕРЕХОДНЫХ ПРОЦЕССОВ ТИРИСТОРНОГО ЭЛЕКТРОПРИВОДА ПРИ СЛОЖНОМ ЗАКОНЕ ИЗМЕНЕНИЯ УГЛА ОТКРЫВАНИЯ ВЕНТИЛЕЙ

В данной статье на базе метода обобщенных функций [1] определяются зависимости скорости и тока двигателя в виде явных функций времени с учетом дискретности преобразователя и изменения э.д.с. двигателя за период питающего напряжения

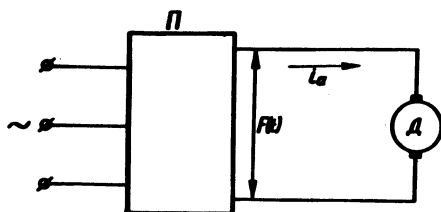


Рис. 1. Принципиальная схема.

при сложном законе изменения угла открывания клапанов. Подобный режим может возникнуть, например, в замкнутых системах электропривода при разгоне либо торможении двигателя. Процессы рассматриваются при "идеальной" коммутации клапанов.

Электрохимический переходный процесс системы преобразователь фазового управления - двигатель постоянного тока (рис. 1) описывается дифференциальными уравнениями

$$\varepsilon + i + T \frac{di}{dt} = F(t) \quad , \quad (1)$$

$$i_c + T_{эм} \frac{d\varepsilon}{dt} = i \quad (2)$$

при начальных условиях

$$\varepsilon(0) = \varepsilon_0, \quad i(0) = i_0.$$

Здесь $\varepsilon = \frac{e}{U_M} = \frac{\omega}{\omega_M}$ - относительная скорость (э.д.с.)

двигателя, где U_M, ω_M - амплитудное значение питающего напряжения и соответствующая ему базовая скорость; $i = \frac{I}{I_M}$,

$i_c = \frac{I_c}{I_M}$ - относительные значения тока главной цепи и тока соответствующего статической нагрузке, где $I_M = \frac{U_M}{R}$ - ба-

зовый ток, равный отношению амплитуды напряжения U_M к

сопротивлению главной цепи; $T, T_{эм}$ - электромагнитная и электрохимическая постоянные времени; $F(t) = \sum_{k=1}^{\infty} \sin \beta_t^k \times$

$\times [1(\alpha_t^k) - 1(\alpha_t^{k+1})]$ - функция управления, характеризующая закон изменения выходного напряжения преобразователя во времени,

где $\beta_t^k = \omega t + \psi - \lambda(k-1)$; $\alpha_t^k = \omega t - \lambda(k-1)$; $\lambda = \frac{2\pi}{m}$;

l - продолжительность проводимости вентиля, зависящая от закона изменения угла открывания вентиля во времени; ψ - угол открывания вентиля; k - порядковый номер промежутка проводимости; m - число пульсов за период питающего напряжения.

При определенной гладкости функции $F(t)$ и при $T_{эм} \neq CT$ это решение системы (1) - (2) может быть представлено в виде

$$\varepsilon(t) = -i_c + \varepsilon^*(t) + q \int_0^t (e^{p_1 \xi} - e^{p_2 \xi}) F(t-\xi) d\xi, \quad (3)$$

где p_1, p_2 - корни характеристического уравнения системы,

$$\varepsilon^*(t) = \frac{1}{p_1} \varepsilon_1^* e^{p_1 t} - \frac{1}{p_2} \varepsilon_2^* e^{p_2 t},$$

$$\varepsilon_1^* = q \left[T(i_o - i_c) - \frac{1}{p_1} (\varepsilon_o + i_c) \right], q = p_1 p_2 / (p_1 - p_2).$$

Подставив $F(t)$ в (3) и преобразуя в полученном выражении интегралы, содержащие единичные функции $\frac{[1]}{\alpha(t)/\omega}$, по формуле

$$\int_0^t f(\xi) 1[\alpha(t) - \omega \xi] d\xi = 1[\alpha(t)] \int_0^{\alpha(t)/\omega} f(\xi) d\xi, \quad (4)$$

найдем

$$\varepsilon(t) = -i_c + \varepsilon^*(t) - \sum_{k=1}^{\infty} \Phi_k(t, 0) [1(\alpha_t^k) - 1(\alpha_t^{k+1})] + \quad (5)$$

$$+ \sum_{k=1}^{\infty} \left[\Phi_k(t, \omega^{-1} \alpha_t^k) 1(\alpha_t^k) - \Phi_k(t, \omega^{-1} \alpha_t^{k+1}) \right],$$

$$\text{где } \Phi_k(t, \xi) = \int (e^{p_1 \xi} - e^{p_2 \xi}) \sin \beta_{t-\xi}^k d\xi. \quad (6)$$

Значение скорости $\varepsilon(t)$ и тока $i(t)$ внутри n -го промежутка проводимости вентиля обозначим $\varepsilon_n(t)$ и $i_n(t)$. Учтем, что в n -м промежутке:

$$\left. \begin{aligned} 1(\alpha_t^k) &\equiv 1 && \text{при } k = 1, 2, \dots, n \\ 1(\alpha_t^k) &\equiv 0 && \text{при } k = n+1, n+2, \dots \end{aligned} \right\} \quad (7)$$

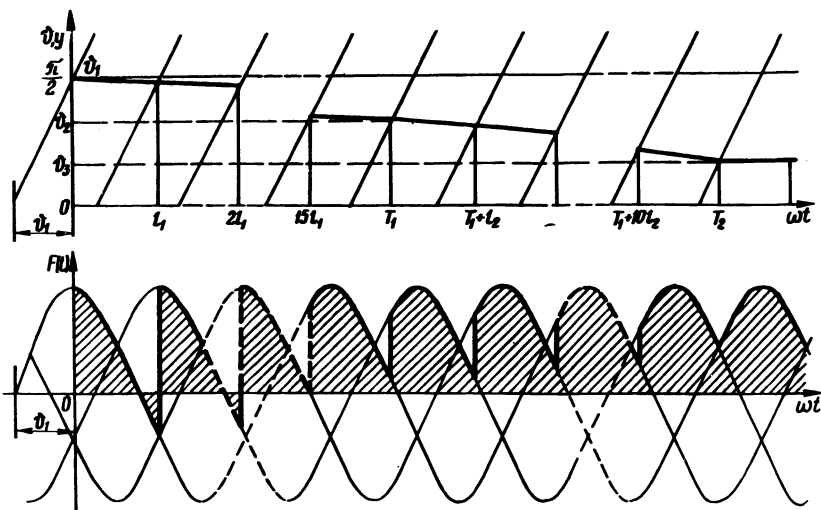


Рис. 2. Линейная диаграмма выходного напряжения преобразователя.

Тогда (5) принимает вид

$$\varepsilon(t) = -i_c + \varepsilon^*(t) - \Phi_n(t, 0) + S_n(t), \quad (8)$$

где

$$S_n(t) = \sum_{k=1}^n \Phi_k(t, \omega^{-1} \alpha_t^k) - \sum_{k=1}^{n-1} \Phi_k(t, \omega^{-1} \alpha_t^{k+1}) (\theta)$$

Пусть при разгоне двигателя угол открывания изменяется по сложному закону, который может быть аппроксимирован кусочно-линейной функцией, определяемой тремя отрезками прямых (рис. 2). При этом продолжительность проводимости вентилей постоянна, но различна на каждом из интервалов. Назовем эту продолжительность обобщенной длиной интервала проводимости и обозначим через l .

Тогда

$$l = \begin{cases} l_1 & \text{при } 0 \leq \omega t < T_1; \\ l_2 & \text{при } T_1 \leq \omega t < T_2; \\ \lambda & \text{при } T_2 \leq \omega t < \infty, \end{cases} \quad (10)$$

$$\lambda = 1, \nu(1-r); \vartheta_{\nu+1} = \vartheta_{\nu} + r_{\nu} T_{\nu}; T_1 = n_1 l_1; T_2 = T_1 + n_2 l_2 \quad (\nu=1,2),$$

где n_1, n_2 - число промежутков проводимости вентиля соответственно на первом и втором интервалах изменения ϑ (по линейному закону). При вычислении $S_n(t)$ удобно ввести разность между обобщенной длиной интервала проводимости l и величиной λ , и обозначить

$$a=1-\lambda, b_\nu=\vartheta+\theta_\nu, l_\nu=-p_\nu l/\omega, \theta_\nu=\arcsin \frac{\omega}{\sqrt{p_\nu^2+\omega^2}}. \quad (11)$$

Тогда (9) принимает вид

$$S_n(t) = \sum_{\nu=1}^2 C_\nu D_n^\nu e^{p_\nu t}, \quad (12)$$

где

$$D_n^\nu = \sigma_n(a, b_\nu, l_\nu) - e^{l_\nu} \sigma_{n-1}(a, b_\nu + l, l_\nu), \quad (13)$$

$$\sigma_n(a, b, l) = \sum_{k=1}^n e^{(k-1)l} \sin[a(k-1)+b], \quad (14)$$

$$C_\nu = (-1)^{\nu+1} \frac{q}{\omega} \sin \theta_\nu.$$

Сумма в (14) вычисляется по формуле

$$\sum_{k=0}^{n-1} e^{kl} \sin(ak+b) = \frac{1}{2} [d(n) - d(0)] (\operatorname{ch} l - \cos a)^{-1},$$

$$d(n) = e^{nl} [\sin(a(n-1)+b) - e^{-l} \sin(an+b)].$$

Подставив (6), (12) в (8), получаем

$$\varepsilon_n(t) = -i_c + A \sin(\beta_t^n + \theta_1 + \theta_2) + S_n e^{p_1 t} - S_n^2 e^{p_2 t}. \quad (15)$$

При этом

$$i_n(t) = i_c + T_{эм} \left[A_\omega \cos(\beta_t^n + \theta_1 + \theta_2) + p_1 S_n^1 e^{p_1 t} - p_2 S_n^2 e^{p_2 t} \right], \quad (16)$$

где

$$A = \omega \cos \theta_1 \cos \theta_2, S_n^\nu = \frac{1}{p_\nu} \varepsilon_\nu + \frac{q}{\omega} D_n^\nu \sin \theta_\nu. \quad (17)$$

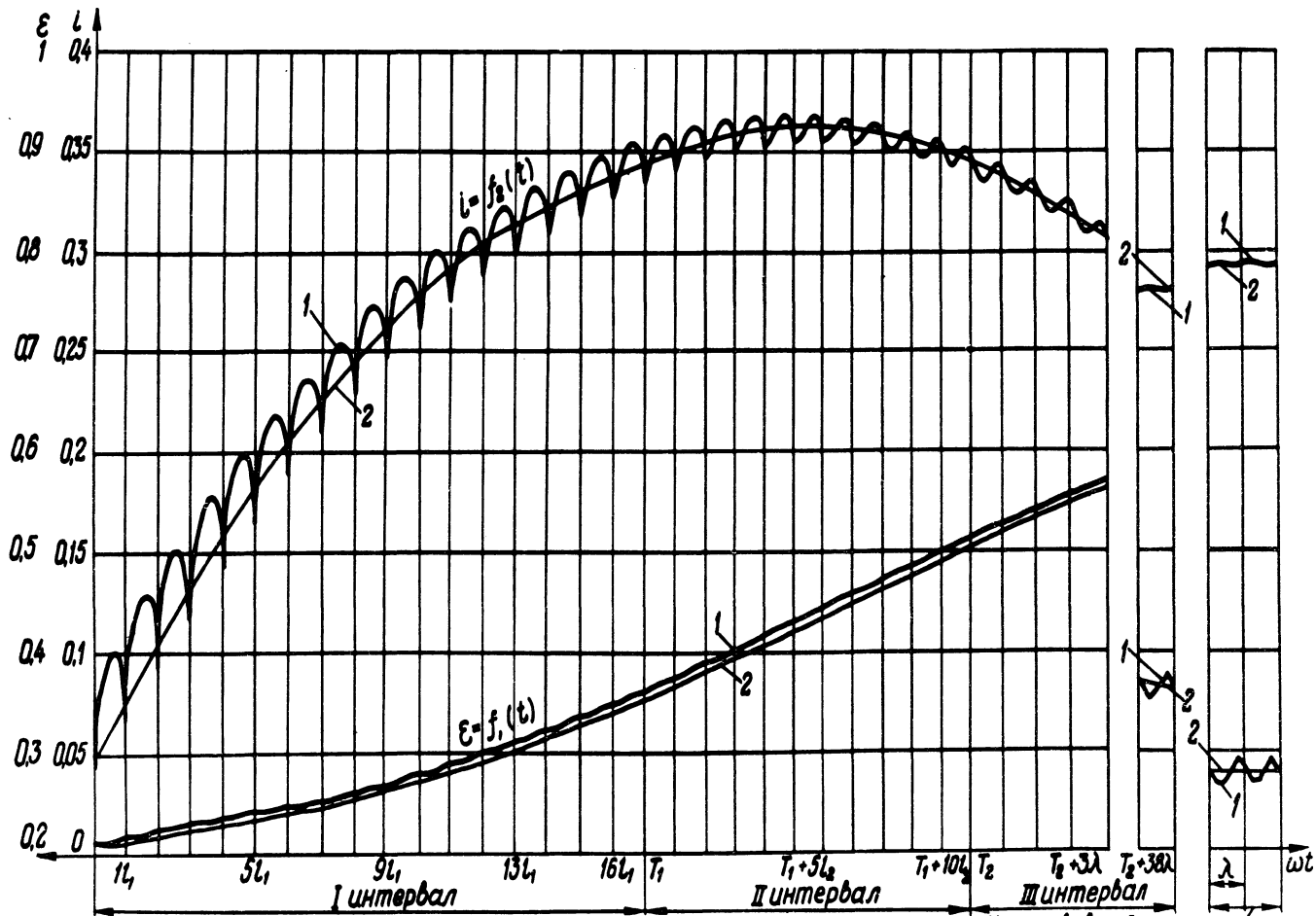


Рис. 3. Графики переходных процессов.

Установившийся режим/

В первом интервале $n < n_1$ и в (13) следует положить

$$l = l_1, \quad l_y = -p_y l_1 / \omega, \quad a = l_1 - \lambda. \quad (18)$$

Во втором интервале $n_1 < n < n_2$ и в (13), (14) l, l_y, a принимаются значения (18) при $k = 1, 2, \dots, \bar{n}_1$, а при $k = n_1 + 1; n_1 + 2, \dots, n$

$$\text{имеем } l = l_2, \quad l_y = -p_y l_2 / \omega, \quad a = l_2 - \lambda. \quad (19)$$

В третьем интервале $n > n_1 + n_2$ и в (13), (14) величины l, l_y, a принимают значения (18) при $k = 1, 2, \dots, n_1$ и значения (19) при $k = n_1 + 1, n_1 + 2, \dots, n_1 + n_2$; а при $k = n_1 + n_2 + 1, \dots$ равны

$$l = \lambda, \quad l_y = -p_y \lambda / \omega, \quad a = 0.$$

На рис. 3 приведены графики (кривые 1) переходных процессов в электроприводе $e = f_1(t)$ и $i = f_2(t)$, рассчитанные по приведенным формулам. Размах пульсаций тока в начале переходного процесса больше размаха пульсаций в установившемся режиме в пять раз. На рис. 2 приведены кривые 2 переходного процесса, вычисленные при средних значениях переменных.

Л и т е р а т у р а

1. Анхимюк В.Л., Караульная Л.Ф., Новицкая В. А. Исследование переходных процессов вентильного электропривода с фазовым управлением методом обобщенных функций. - "Изв. вузов. Энергетика", 1973, № 12.

Б.И. Фираго

СОПОСТАВЛЕНИЕ СИЛОВЫХ СХЕМ ТИРИСТОРНЫХ ЦИКЛОКОНВЕРТОРОВ С НУЛЕВЫМ И БЕЗ НУЛЕВОГО ПРОВОДА ДЛЯ РЕЖИМА НЕПРЕРЫВНОГО ТОКА НАГРУЗКИ

На практике находят применение разнообразные силовые схемы тиристорных циклоконверторов [1]. Представляет интерес сравнить основные показатели качества преобразования электроэнергии циклоконверторами с нулевым и без нулевого провода для получения одинаковой мощности первой гармоники в нагруз-